Identification des systèmes non linéaires par une approche multi-modèle à états découplés

Rodolfo Orjuela, Didier Maquin et José Ragot

Centre de Recherche en Automatique de Nancy UMR7039, Nancy-Université, CNRS 2, Avenue de la forêt de Haye 54516 Vandœuvre-Lès-Nancy Cedex, France

Journées Identification et Modélisation Expérimentale 16 et 17 Novembre, Poitiers, 2006



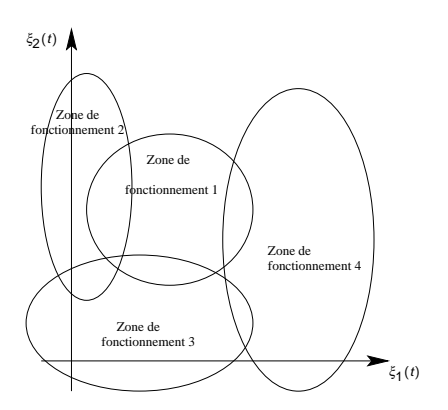


Objectif

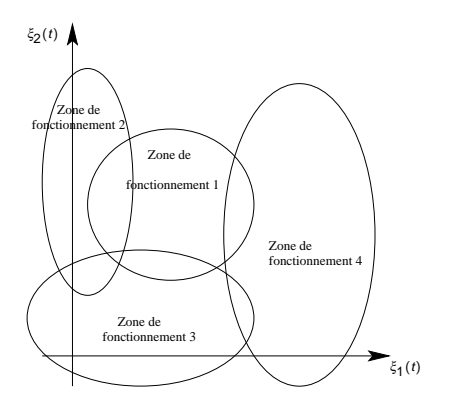
Obtenir un modèle d'un système non-linéaire valable dans un large domaine de fonctionnement

Problématique

- Caractérisation globale d'un S.N.L. difficile avec un modèle unique
- Complexité mathématique du modèle importante
- Utilisation directe du modèle limitée

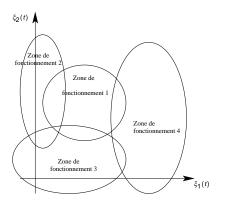


Approche multi-modèle



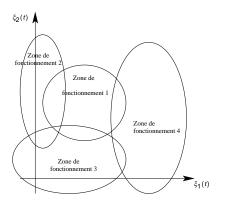
Approche multi-modèle

Décomposition en zones de fonctionnement



Approche multi-modèle

- Décomposition en zones de fonctionnement
- Un sous-modèle simple modélise chaque zone



Approche multi-modèle

- Décomposition en zones de fonctionnement
- Un sous-modèle simple modélise chaque zone
- Agrégation judicieuse des sous-modèles

- Structures des multi-modèles
 - Structure à états couplés
 - Structure à états découplés
- Procédure d'estimation paramétrique
- 3 Exemple d'identification
- Identification du four à gaz de Box et Jenkins
- 6 Conclusion et perspectives

- Structures des multi-modèles
 - Structure à états couplés
 - Structure à états découplés
- Procédure d'estimation paramétrique
- Exemple d'identification
- Identification du four à gaz de Box et Jenkins
- 6 Conclusion et perspectives

- Structures des multi-modèles
 - Structure à états couplés
 - Structure à états découplés
- Procédure d'estimation paramétrique
- Exemple d'identification
- Identification du four à gaz de Box et Jenkins
- 6 Conclusion et perspectives

- Structures des multi-modèles
 - Structure à états couplés
 - Structure à états découplés
- Procédure d'estimation paramétrique
- Exemple d'identification
- Identification du four à gaz de Box et Jenkins
- 6 Conclusion et perspectives

- Structures des multi-modèles
 - Structure à états couplés
 - Structure à états découplés
- Procédure d'estimation paramétrique
- Exemple d'identification
- Identification du four à gaz de Box et Jenkins
- Conclusion et perspectives

Structure classique

Multi-modèle à états couplés

$$x_i(k+1) = A_i\hat{x}(k) + B_iu(k) + D_i$$

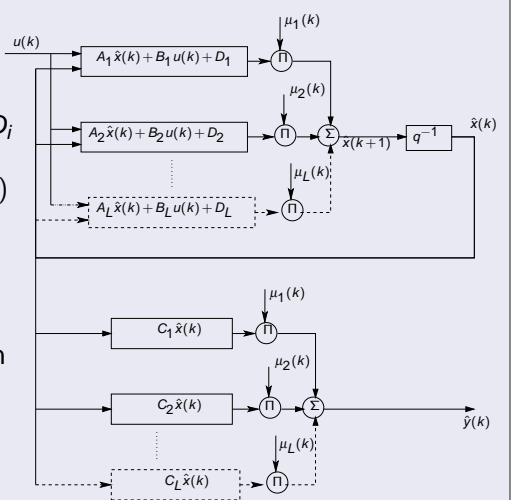
$$\hat{x}(k+1) = \sum_{i=1}^{L} \mu_i(\xi(k))x_i(k+1)$$

$$\hat{y}(k) = \sum_{i=1}^{L} \mu_i(\xi(k))C_i\hat{x}(k)$$

 $\mu_i(\xi(k))$: fonction de pondération

$$\sum_{i=1}^{L} \mu_i(\xi(k)) = 1 \qquad \forall k$$

 ξ : variable d'indexation
 $\xi(k) = u(k)$



Structure classique

Multi-modèle à états couplés

$$x_{i}(k+1) = A_{i}\hat{x}(k) + B_{i}u(k) + D_{i}$$

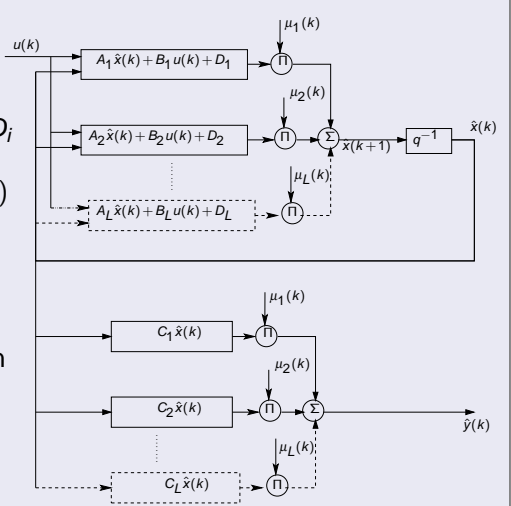
$$\hat{x}(k+1) = \sum_{i=1}^{L} \mu_{i}(\xi(k))x_{i}(k+1)$$

$$\hat{y}(k) = \sum_{i=1}^{L} \mu_{i}(\xi(k))C_{i}\hat{x}(k)$$

 $\mu_i(\xi(k))$: fonction de pondération

$$\sum_{i=1}^{K} \mu_i(\xi(k)) = 1 \qquad \forall k$$

 ξ : variable d'indexation
 $\xi(k) = u(k)$



Structure classique

Multi-modèle à états couplés

$$x_{i}(k+1) = A_{i}\hat{\mathbf{x}}(k) + B_{i}u(k) + D_{i}$$

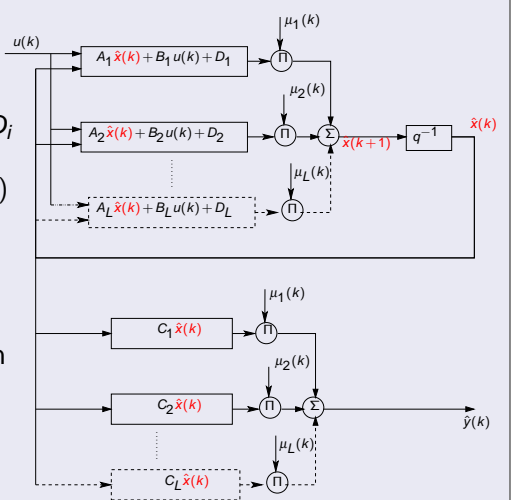
$$\hat{\mathbf{x}}(k+1) = \sum_{i=1}^{L} \mu_{i}(\xi(k))x_{i}(k+1)$$

$$\hat{\mathbf{y}}(k) = \sum_{i=1}^{L} \mu_{i}(\xi(k))C_{i}\hat{\mathbf{x}}(k)$$

 $\mu_i(\xi(k))$: fonction de pondération

$$\sum_{i=1}^{L} \mu_i(\xi(k)) = 1 \qquad \forall k$$

 ξ : variable d'indexation
 $\xi(k) = u(k)$



Structure classique

Multi-modèle à états couplés

$$\hat{x}(k+1) = \tilde{A}\hat{x}(k) + \tilde{B}u(k) + \tilde{D}$$

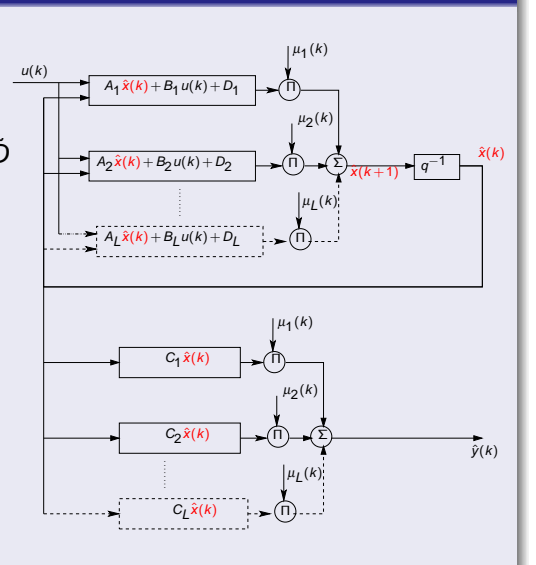
$$\hat{y}(k) = \tilde{C}\hat{x}(k)$$

$$\tilde{A} = \sum_{i=1}^{L} \mu_{i}(\xi(k))A_{i}$$

$$\tilde{B} = \sum_{i=1}^{L} \mu_{i}(\xi(k))B_{i}$$

$$\tilde{D} = \sum_{i=1}^{L} \mu_{i}(\xi(k))D_{i}$$

$$\tilde{C} = \sum_{i=1}^{L} \mu_{i}(\xi(k))C_{i}$$



Nouvelle structure

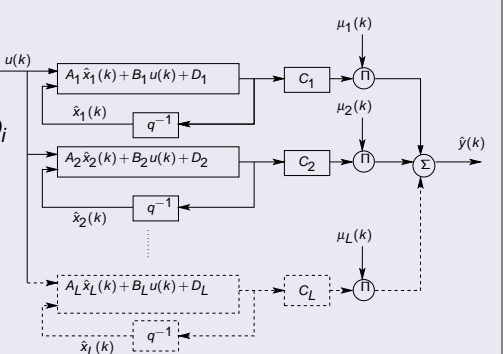
Multi-modèle à états découplés

$$\hat{x}_{i}(k+1) = A_{i}\hat{x}_{i}(k) + B_{i}u(k) + D_{i}$$

$$\hat{y}_{i}(k) = C_{i}\hat{x}_{i}(k)$$

$$\hat{y}(k) = \sum_{k} \mu_{i}(\xi(k))\hat{y}_{i}(k)$$

$$\hat{y}(k) = \sum_{i=1}^{L} \mu_i(\xi(k))\hat{y}_i(k)$$



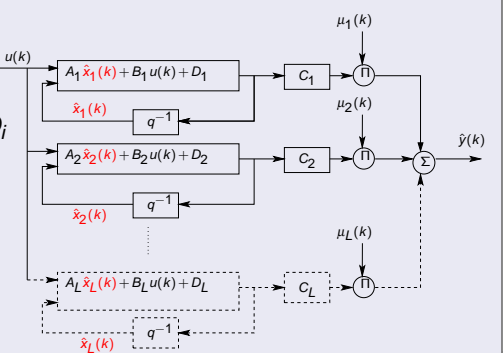
Nouvelle structure

Multi-modèle à états découplés

$$\hat{\mathbf{x}}_{i}(\mathbf{k}+\mathbf{1}) = A_{i}\hat{\mathbf{x}}_{i}(\mathbf{k}) + B_{i}u(\mathbf{k}) + D_{i}$$

$$\hat{\mathbf{y}}_{i}(\mathbf{k}) = C_{i}\hat{\mathbf{x}}_{i}(\mathbf{k})$$

$$\hat{y}(k) = \sum_{i=1}^{L} \mu_i(\xi(k))\hat{y}_i(k)$$



Multi-modèle à états couplés

- Un état global \hat{x} qui couple les états \hat{x}_i de sous-modèles
- Un même ordre de sous-modèles
- Mélange entre les paramètres des sous-modèles

Multi-modèle à états couplés

- Un état global \hat{x} qui couple les états \hat{x}_i de sous-modèles
- Un même ordre de sous-modèles
- Mélange entre les paramètres des sous-modèles

Multi-modèle à états découplés

- La sortie globale du M.M. est la somme pondérée des sorties de sous-modèles
- L'espace d'état des sous-modèle est indépendant
- L'ordre de sous-modèles peut être différent

Élaboration d'un multi-modèle

Élaboration d'un multi-modèle

Décomposition de l'espace de fonctionnement en un nombre de zones de fonctionnement

Élaboration d'un multi-modèle

- Décomposition de l'espace de fonctionnement en un nombre de zones de fonctionnement
- 2 Agrégation des sous-modèles

Élaboration d'un multi-modèle

- Décomposition de l'espace de fonctionnement en un nombre de zones de fonctionnement
- Agrégation des sous-modèles
- Oétermination des paramètres de chaque sous-modèle

Élaboration d'un multi-modèle

- Décomposition de l'espace de fonctionnement en un nombre de zones de fonctionnement
- 2 Agrégation des sous-modèles
- Détermination des paramètres de chaque sous-modèle

Problème lié à l'identification

Identifier les paramètres de L sous-modèles d'un multi-modèle à états découplés partir de donnés entrée/sortie d'un système SISO et connaissant les fonctions de pondération $\mu_i(\xi)$

Algorithme de Gauss-Newton amélioré

Procédure itérative de minimisation d'un critère J

$$\theta^+ = \theta - \Delta (H + \lambda I)^{-1} G$$

- θ vecteur de paramètres à une itération particulière
- θ⁺ cette même valeur à l'itération suivante
- $H = \frac{\partial^2 J}{\partial \theta \partial \theta^T}$ la matrice hessienne
- $G = \frac{\partial J}{\partial \theta}$ le vecteur gradient
- Δ coefficient de relaxation
- λ paramètre de régularisation (algorithme de Marquardt)

Critères d'estimation

Critères d'estimation

• Le critère global :

$$J_G = \frac{1}{2} \sum_{k=1}^{N} (\hat{y}(k) - y(k))^2$$

Critères d'estimation

Le critère global :

$$J_G = \frac{1}{2} \sum_{k=1}^{N} (\hat{y}(k) - y(k))^2$$

Le critère local :

$$J_{L} = \frac{1}{2} \sum_{i=1}^{L} \sum_{k=1}^{N} \mu_{i}(\xi(k)) (\hat{y}_{i}(k) - y(k))^{2}$$

Critères d'estimation

Le critère global :

$$J_G = \frac{1}{2} \sum_{k=1}^{N} (\hat{y}(k) - y(k))^2$$

Le critère local :

$$J_{L} = \frac{1}{2} \sum_{i=1}^{L} \sum_{k=1}^{N} \mu_{i}(\xi(k)) (\hat{y}_{i}(k) - y(k))^{2}$$

Le critère combiné ou mixte :

$$J_C = \alpha J_G + (1 - \alpha)J_L$$
 $0 \le \alpha \le 1$

Estimation paramétrique avec J_G

Calcul du G

$$G_G = \frac{\partial J_G}{\partial \theta} = \sum_{k=1}^N \varepsilon(k) \frac{\partial \hat{y}(k)}{\partial \theta} \qquad \varepsilon(k) = \hat{y}(k) - y(k)$$

 $rac{\partial \hat{y}(k)}{\partial heta}$ fonctions de sensibilité de premier ordre

Calcul du H

$$\mathbf{H}_{\mathsf{G}} = \frac{\partial^{2} J_{\mathsf{G}}}{\partial \theta \partial \theta^{\mathsf{T}}} = \sum_{k=1}^{N} \underbrace{\varepsilon(k)}_{\to 0} \frac{\partial^{2} \hat{y}(k)}{\partial \theta \partial \theta^{\mathsf{T}}} + \sum_{k=1}^{N} \frac{\partial \hat{y}(k)}{\partial \theta} \frac{\partial \hat{y}(k)}{\partial \theta^{\mathsf{T}}}$$

$$\mathbf{H}_{G} \approx \sum_{k=1}^{N} \frac{\partial \hat{\mathbf{y}}(k)}{\partial \theta} \frac{\partial \hat{\mathbf{y}}(k)}{\partial \theta^{T}}$$



Fonction de sensibilité

Vecteur de paramètres

$$\theta = [\theta_1 \dots \theta_p \dots \theta_L]^T$$
 vecteur paramètres multi-modèle $\theta_p = [\theta_{p,1} \dots \theta_{p,q} \dots \theta_{p,q_p}]^T$ vecteur paramètres sous-modèle p

Fonctions de sensibilité

$$\frac{\partial \hat{y}(k)}{\partial \theta} = \sum_{i=1}^{L} \mu_{i}(\xi(k)) \frac{\partial \hat{y}_{i}(k)}{\partial \theta}
\frac{\partial \hat{y}_{i}(k)}{\partial \theta_{p,q}} = \frac{\partial C_{i}}{\partial \theta_{p,q}} \hat{x}_{i}(k) + C_{i} \frac{\partial \hat{x}_{i}(k)}{\partial \theta_{p,q}}
\frac{\partial \hat{x}_{i}(k+1)}{\partial \theta_{p,q}} = \frac{\partial A_{i}}{\partial \theta_{p,q}} \hat{x}_{i}(k) + A_{i} \frac{\partial \hat{x}_{i}(k)}{\partial \theta_{p,q}} + \frac{\partial B_{i}}{\partial \theta_{p,q}} u(k) + \frac{\partial D_{i}}{\partial \theta_{p,q}}$$

Exemple d'identification

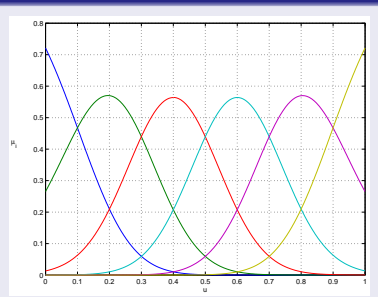
Exemple d'identification

Modèle non linéaire

$$x(k+1) = Ax(k) + \sin(\gamma u(k))(\beta - u(k)),$$

 $y(k) = x(k),$
 $A = 0.95, \quad \gamma = 0.8\pi, \quad \beta = 1.5$

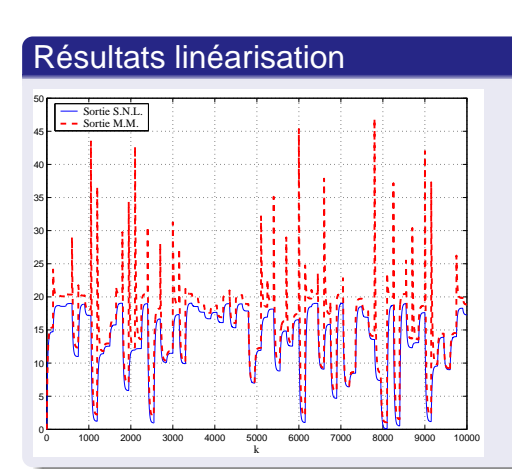
Fonctions de pondération



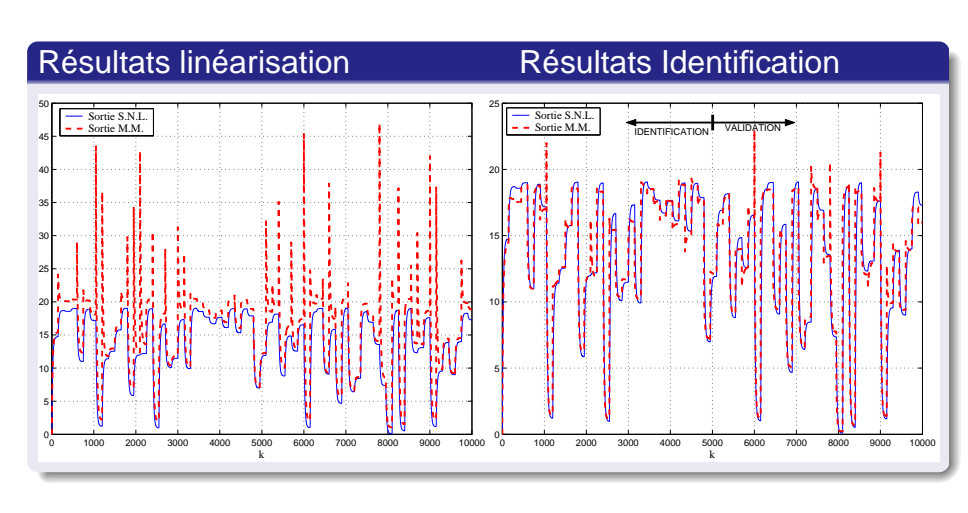
Exemple d'identification



Exemple d'identification



Exemple d'identification



Problème de décrochage

Problème de conditions initiales sur les sorties des sous-modèles quand elles sont mises à contribution

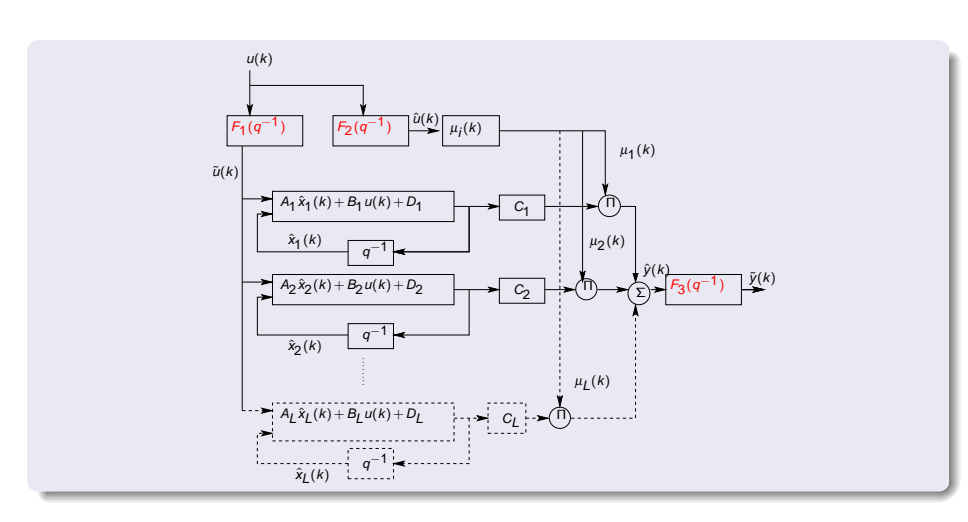
- Un décrochage apparaît si les sorties mises à contribution sont éloignées
- Le décrochage diminue si les sorties des sous-modèles sont proches
- Le décrochage disparaît complètement si elles sont identiques

Solutions

- Mélanger fortement les fonctions de pondération
- Augmenter le nombre des sous-modèle
- Modifier la structure du multi-modèle



Nouvelle structure



Nouvelle structure

$$\hat{x}_{i}(k+1) = A_{i}\hat{x}_{i}(k) + B_{i}\tilde{u}(k) + D_{i}$$

$$\hat{y}_{i}(k) = C_{i}\hat{x}_{i}(k)$$

$$\tilde{y}(k) = \sum_{i=1}^{L} \mu_{i}(\xi(k))\hat{y}_{i}(k) \text{ avec } \xi(k) = \hat{u}(k)$$

$$\tilde{u}(k) = F_{1}(q^{-1})u(k)$$

$$\hat{u}(k) = F_{2}(q^{-1})u(k)$$

$$\hat{y}(k) = F_{3}(q^{-1})\tilde{y}(k)$$

$$\tilde{u}(k+1) = \alpha_{1}\tilde{u}(k) + (1 - \alpha_{1})u(k+1)$$

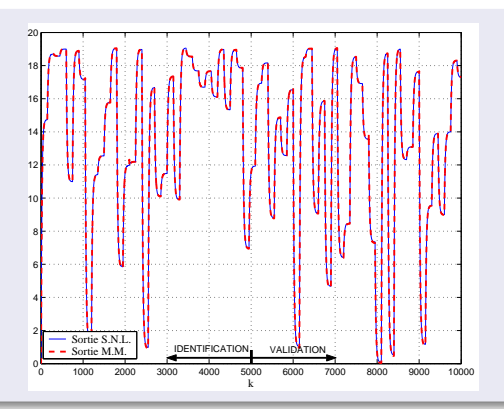
$$\hat{u}(k+1) = \alpha_{2}\hat{u}(k) + (1 - \alpha_{2})u(k+1)$$

$$\hat{y}(k+1) = \alpha_{3}\hat{y}(k) + (1 - \alpha_{3})\tilde{y}(k+1)$$

 \hat{y} est la nouvelle sortie du multi-modèle



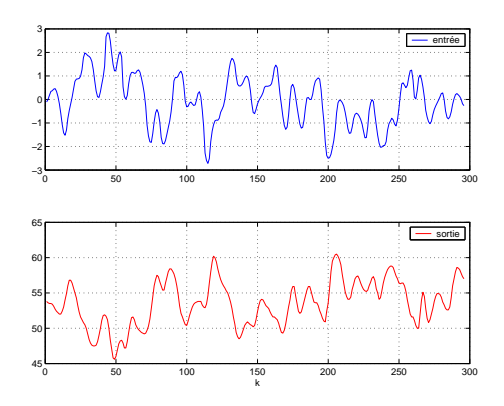
Décrochage



Méthode	J_{G}
Linéarisation	7.99×10^{4}
Estimation sans filtrage	1.46×10^4
Estimation avec filtrage	21.72

Identification du four à gaz de Box et Jenkins

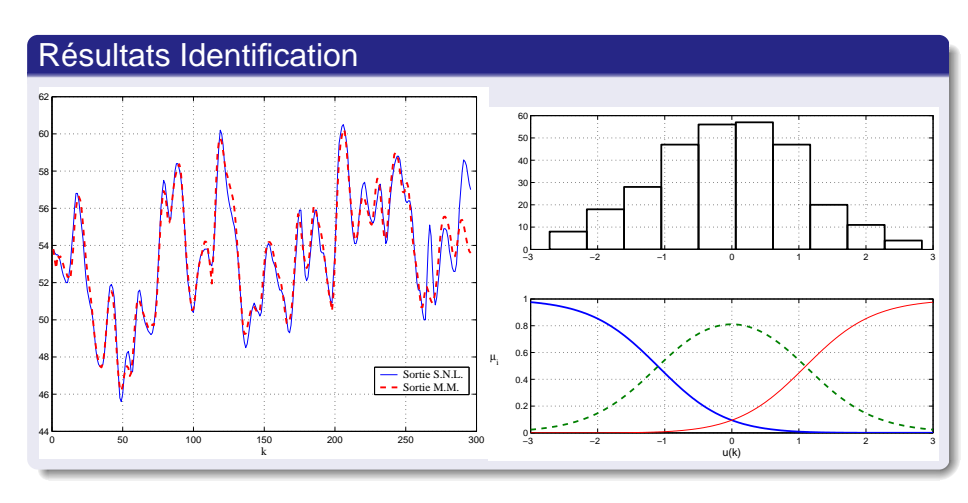
Identification du four à gaz de Box et Jenkins



- Entrée : débit du méthane
- Sortie : concentration du gaz CO₂



Identification du four à gaz de Box et Jenkins



Conclusion et perspectives

Conclusion

- Identification des systèmes non linéaires par une approche multi-modèle à états locaux découplés
- Un phénomène de décrochage a été mis en évidence et une solution a été suggérée afin de l'éliminer

Perspectives

- Recherche de la dimension du multi-modèle à états découplés
- Optimisation des fonctions de pondération μ_i

merci